#### PSI 2023-2024

# DS N°4 Sujet B

Corrigé

## Contrôle d'orientation du satellite DEMETER

## I - Étude préliminaire de la plateforme utilisée pour le satellite

## **Question 1**

Le satellite est en rotation autour de la terre à une distance (R + h). Donc sa vitesse linéaire est :  $\overrightarrow{V} = (R + h).\omega_0$ .  $\overrightarrow{t}$  où  $\overrightarrow{t}$  est un vecteur tangent à la trajectoire.

Son accélération est  $\overrightarrow{A} = -(R+h).\omega_0^2.\overrightarrow{Z}$  où Z est un vecteur vertical vers le haut (parallèle au rayon et orienté vers l'extérieur. L'application du TRD en projection sur  $\overrightarrow{Z}$  donne alors :

$$-\frac{G.M.m}{(R+h)^2} = -m.(R+h).\omega_0^2$$
 Donc:

$$-\frac{G.M.m}{(R+h)^2} = -m.(R+h).\omega_0^2 \qquad \text{Donc}: \qquad \omega_0 = \frac{1}{R+h}.\sqrt{\frac{G.M}{R+h}}$$
btient donc: 
$$\overrightarrow{\mathbf{V}} = \sqrt{\frac{G.M}{R+h}}.\overrightarrow{\mathbf{t}} \quad \text{AN}: \quad \overrightarrow{\mathbf{V}} = 7 \text{ 507. } \overrightarrow{\mathbf{t}} \text{ en m.s}^{-1}$$

D'où la pulsation orbitale : 
$$\omega_0 = \frac{\|\overrightarrow{\mathbf{V}}\|}{\mathbf{R} + \mathbf{h}} = 1,062.10^{-3} \text{ rad.s}^{-1}$$

## **Question 2**

La période de révolution est de :  $T = \frac{2.\pi}{\omega_0} = 5\,916$  s Le satellite est éclairé durant 65 min = 3 900 s.

Il est masqué durant une période de :

5916 - 3900 = 2016 s

Durant cette période sa consommation électrique est de :

$$\frac{2016 \text{ s}}{3600 \text{ s/h}} \times 0.6 \text{ A/Circuit} \times 44 \text{ circuit} = 14.8 \text{ A.h}$$

La capacité totale du système étant de 15 A.h > 14,8 A.h elle est suffisante.

# II – Modélisation dynamique du système satellite

# II-B-1 – principe de fonctionnement d'une roue de réaction

## **Question 9**

Calculons  $\delta_{Gr}(\overrightarrow{roue/R_g})$  le moment dynamique en  $G_r$  de la roue dans son mouvement par rapport au repère géocentrique  $R_g$  (Repère Galiléen).  $\delta_{Gr}(\overrightarrow{roue/R_g}) = \left(\frac{d \sigma_{Gr}(\overrightarrow{roue/R_g})}{dt}\right)_{Rg}$ 

Avec: 
$$\sigma_{Gr}(\overrightarrow{roue/R_g}) = \overline{\overrightarrow{I(Gr,roue)}} \cdot \Omega(\overrightarrow{R_r/R_g}) = \overline{\overrightarrow{I(Gr,roue)}} \cdot [\Omega(\overrightarrow{R_r/R_S}) + \Omega(\overrightarrow{R_S/R_g})]$$

On a donc : 
$$\delta_{Gr}(\overrightarrow{roue/R_g}) = \left(\frac{d \sigma_{Gr}(\overrightarrow{roue/R_g})}{dt}\right)_{R} = \left(\frac{d \sigma_{Gr}(\overrightarrow{roue/R_g})}{dt}\right)_{R} + \Omega(\overrightarrow{R_r/R_g}) \wedge \sigma_{Gr}(\overrightarrow{roue/R_g})$$

$$Soit: \quad \delta_{Gr}(\overrightarrow{roue/R}_g) = \begin{pmatrix} I_{rx}.\overrightarrow{\Omega_x} \\ I_{ry}.(\overrightarrow{\Omega_y} + \overrightarrow{\omega_r}) \\ I_{rz}.\overrightarrow{\Omega_z} \end{pmatrix} R_s + \begin{pmatrix} \Omega_x \\ \Omega_y \\ \Omega_z \end{pmatrix} R_s \wedge \begin{pmatrix} I_{rx}.\Omega_x \\ I_{ry}.(\Omega_y + \omega_r) \\ I_{rz}.\Omega_z \end{pmatrix} R_s$$

$$On \ obtient \ donc: \qquad \delta_{Gr} \overrightarrow{(roue/R_g)} \ . \ \overrightarrow{y} = I_{ry}. (\vec{\Omega_y} + \dot{\omega_r}) + \Omega_x. \Omega_z. (I_{rz} - I_{rx})$$

D'autre part : 
$$\dot{\omega}_r(t) >> \dot{\Omega}_v$$
 et :  $I_{rx} = I_{rz}$ 

Donc : 
$$\delta_{\text{Gr}}\overrightarrow{(roue/R_g)} \ . \ \overrightarrow{y} \approx I_{ry}. \dot{\omega_r}$$

Les actions extérieures s'appliquant sur la roue sont :

- The De la terre sur la roue :  $\mathcal{M}_{Gr}(\overrightarrow{\text{terre}} \rightarrow \text{roue})$  .  $\overrightarrow{y} = 0$
- The Du satellite sur la roue:  $\mathcal{M}_{Gr}(\text{satellite} \rightarrow \text{roue})$ .  $\overrightarrow{y} = 0$  Car due à une pivot d'axe (Gr,  $\overrightarrow{y}$ )
- The Du stator sur la roue:  $\mathcal{M}_{Gr}(s\overrightarrow{tator} \rightarrow roue)$ .  $\overrightarrow{y} = C_m(t) C_f(t)$

L'application du TRD en  $G_r$  en projection sur y donne donc :  $I_{ry}.\dot{\omega_r} = C_m(t) - C_f(t)$ 

Du principe des actions mutuelles on a donc :  $\mathcal{M}_{Gr}(\overrightarrow{roue} \rightarrow \overrightarrow{stator}) = -I_{ry} \cdot \overrightarrow{\omega_r} \cdot \overrightarrow{y}$ 

## **Question 10**

Toutes les actions autres que celle de la roue sur le stator étant supposées nulles on obtient en appliquant au satellite le TMD en G en projection sur  $\overrightarrow{y}$ :  $I_y.\ddot{\theta} = \mathcal{M}_G(\overrightarrow{roue} \rightarrow \overrightarrow{s}tator)$ .  $\overrightarrow{y}$ 

Sachant que (Gr,  $\overrightarrow{y}$ ) et (G,  $\overrightarrow{y}$ ) sont confondus :  $\mathcal{M}_{G}(\overrightarrow{roue} \rightarrow \overrightarrow{stator})$ .  $\overrightarrow{y} = \mathcal{M}_{Gr}(\overrightarrow{roue} \rightarrow \overrightarrow{stator})$ .  $\overrightarrow{y}$ 

On a :  $I_y \cdot \ddot{\theta} = -I_{ry} \cdot \dot{\omega}_r$  Puis par intégration avec des conditions initiales nulles :  $I_y \cdot \dot{\theta} = -I_{ry} \cdot \omega_r$ 

## **Question 11**

Avoir deux actionneurs permet de doubler les éléments et assure une meilleure fiabilité.

## II-B-2 - Dimensionnement des roues de réaction

## **Question 12**

On note:  $\mathfrak{F}_{r}$  la masse de la roue:  $m_r = \frac{2.I_a}{r^2} \operatorname{car} I_a = \frac{1}{2}.m_r.r^2$ 

 $\ensuremath{^{\circ}}\ensuremath{m_{ct}}\xspace$  du cylindre tubulaire  $m_{ct}=\rho_c.H.\pi.(R^2-(R-e)^2)$ 

 $^{\mbox{\tiny $\mathcal{P}$}}$   $m_p$  la masse de chacune des deux plaques :  $m_p = \rho_c.e.\pi.R^2$  D'où la masse totale :

 $m_{t} = \frac{2.I_{a}}{r^{2}} + \rho_{c}.H.\pi.(R^{2} - (R - e)^{2}) + 2.\rho_{c}.e.\pi.R^{2} = \frac{2.I_{a}}{r^{2}} + \rho_{c}.\pi.e.\big[\left(H.(2.R - e) + 2.R^{2}\right)\big]$ 

Or: R = r + e + j et d'autre part:  $e \le r$  et  $j \le r$ 

Donc:  $2.R - e \approx 2.r$  et:  $2.R^2 \approx 2.r^2$  Soit:  $H.(2.R - e) + 2.R^2 \approx 2.H.r + 2.r^2$ 

On en déduit :  $m_t = \frac{2 \cdot I_a}{r^2} + 2 \cdot \rho_c \cdot e \cdot r \cdot \pi \cdot (H + r)$ 

## **Question 13**

On a donc:  $\frac{d m_t}{dr} = -\frac{4.I_a}{r^3} + 2.\rho_c.e.\pi.(H + 2.r)$ 

 $Par \ cons\'equent: \qquad \frac{d \ m_t}{dr} = 0 \Leftrightarrow 4.I_a = 4.\rho_c.e.\pi. \\ \left(\frac{H}{2}.r^3 + r^4\right) \qquad \Leftrightarrow \qquad \frac{H}{2}.r^3 + r^4 = \frac{I_a}{\rho_c.e.\pi}$ 

Equation de la forme :  $r^4 + a.r^3 = b$  avec :  $a = \frac{H}{2} = \frac{0.1}{2} = 0.05 \text{ m}$ 

Et:  $b = \frac{I_a}{\rho_c.e.\pi} = \frac{4.10^{-4}}{7\ 800.\pi.2.10^{-3}} = 8,16.10^{-6} \text{ m}^4$ 

L'abaque du document réponse donne alors : r = 0.044 m

On a donc : R = r + j + e = 0.044 + 0.002 + 0.002 = 0.048 m

Et:  $m_t = \frac{2.I_a}{r^2} + 2.\rho_c$ .e.r. $\pi$ . $(H + r) = \frac{2 \times 4.10^{-4}}{0.044^2} + 2 \times 7.800 \times 0.002 \times 0.044$ . $\pi$ .(0.1 + 0.02) = 1.034 kg

Enfin la roue étant un cylindre homogène plein :  $m_r = \frac{2.I_a}{r^2} = \rho_r.h.\pi.r^2$ 

On a :  $h = \frac{2.I_a}{\rho_r.\pi.r^4} = \frac{2\times4.10^{-4}}{1\ 140.\pi.0,044^4} = 0,0596\ m = 59,6\ mm$ 

Pour la résistance du matériau de la roue il faut :  $\frac{7}{16}.\rho_r.\omega_r^2.r^2 \leq \sigma_e$ 

$$Soit: \quad \omega_r \leq \frac{4}{r}. \sqrt{\frac{\sigma_r}{7.\rho_r}} = \frac{4}{0.044}. \sqrt{\frac{9.10^6}{7\times 1~140}} = 3~053~rad.s^{-1}~N_r \leq 29~154~tr.min^{-1}$$

Le critère limitant la vitesse de rotation de la roue est donc :  $N_r \le 2~800~tr.min^{-1} \le 29~154~tr.min^{-1}$ 

La vitesse maximale de rotation de la roue est donc :  $N_{\text{Max}}$  = 2 800 tr.min<sup>-1</sup>

Le couple maximal est donc tel que  $P_{Max} = C_{mMax}.\omega_{Max} = C_{mMax}.\frac{2.\pi.N_{Max}}{60}$ 

D'où le couple maximal du moteur :  $C_{mMax} = \frac{30.P_{Max}}{\pi . N_{Max}} = \frac{30 \times 1.5}{2800.\pi} = 5.12.10^{-3} \text{ N.m}$ 

#### III – Contrôle d'attitude du satellite

## III-A – Choix d'un modèle de commande et analyse préliminaires

## **Question 15**

La fonction de transfert 
$$A_r(p).H(p).F(p) = \frac{0,028}{p^2} \cdot \frac{1}{1 + \frac{1}{0.87}.p} \cdot \frac{1}{1 + 1,5.p}$$
 est donc le produit d'un

double intégrateur et de deux premiers ordre de constante de temps 1,5 s et  $\frac{1}{0.87}$  s D'où les diagramme asymptotiques de gains et de phase de la page suivante.

## **Question 16**

LA FTBO non corrigée est : 
$$H_{BONC}(p) = A_r(p).H(p).F(p).e^{-0.1.p}.e^{-0.7.p} = A_r(p).H(p).F(p).e^{-0.8.p}$$

On obtient donc les diagrammes de BODE de la FTBO non corrigée par addition des diagrammes de BODE précédent et de celui de la fonction de transfert  $e^{-0,8,p}$  dont :

$$^{\text{G}}$$
 le gain est  $20.\log |e^{-0.8.j.\omega}| = 20.\log |\cos 0.8.\omega - j.\sin 0.8.\omega| = 0$ 

$$^{\text{T}}$$
 la phase est  $arg(e^{-0.8.j.\omega}) = arg(\cos 0.8.\omega - j.\sin 0.8\omega) = -0.8.\omega$ 

La courbe de gain n'est donc pas modifiée et la courbe de gain est diminuée de 0,8.0.

Applications numériques : 
$$-0.8 \times 0.06 = -0.048 \text{ rad} = -2.8^{\circ}$$

$$-0.8 \times 0.09 = -0.072 \text{ rad} = -4.1^{\circ}$$

$$-0.8 \times 0.2 = -0.16 \text{ rad} = -9.2^{\circ}$$

$$-0.8 \times 0.5 = -0.40 \text{ rad} = -22.9^{\circ}$$

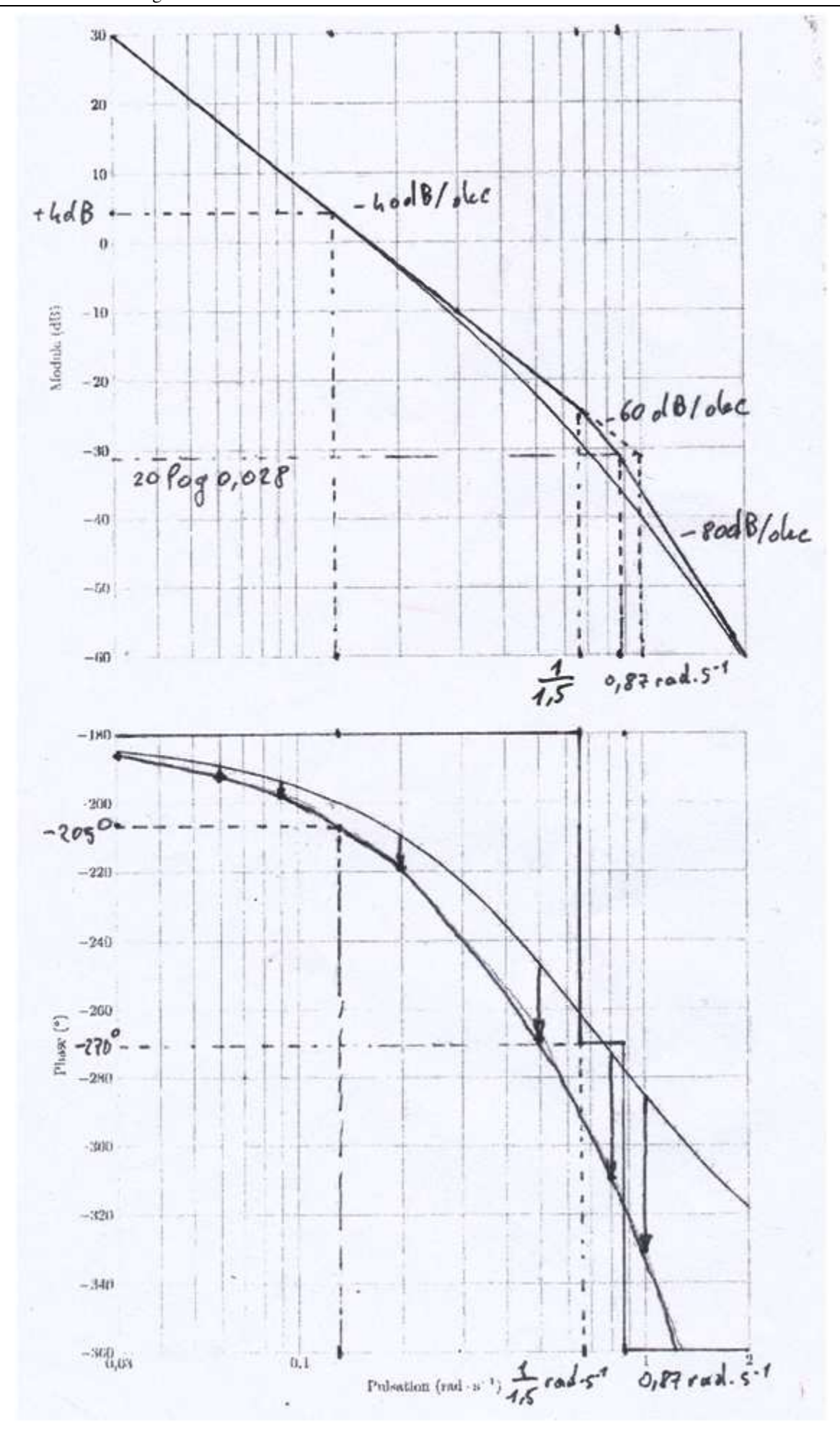
$$-0.8 \times 0.8 = -0.64 \text{ rad} = -36.7^{\circ}$$

$$-0.8 \times 1 = -0.80 \text{ rad} = -45.8^{\circ}$$

On voit que la phase de la FTBO non corrigée est inférieure à  $-180^{\circ}$  donc pour assurer le cahier des charges (critère de stabilité) il faut remonter la phase au-dessus de  $-180^{\circ}$ .

Or la phase d'un correcteur Proportionnel est nulle et celle d'un correcteur proportionnel Intégral est comprise entre  $-90^{\circ}$  et  $0^{\circ}$ . Il ne permettront donc pas de remonter la phase.

Donc ces types de correction ne permettront pas de vérifier le cahier des charges.



Sciences Industrielles de l'Ingénieur

On lit sur les diagrammes de Bode de la FTBO non corrigée (R(p) = 1) que pour une pulsation de coupure à 0 dB exigée par le cahier des charges ( $\omega_c = 0.13 \text{ rad.s}^{-1}$ ) on a un gain et une phase de cette FTBO non corrigée de :  $G_{dBBONC}(\omega_c) = + 4 \text{ dB}$  et :  $\phi_{BONC}(\omega_c) = -205^{\circ}$ .

Remarque ces valeurs peuvent se retrouver par le calcul:

$$\begin{split} G_{dBBONC}(\omega_c) &= 20.log\left(\frac{0{,}028}{0{,}13^2}\right) - 10.log\left(1 + \left(\frac{0{,}13}{0{,}87}\right)^2\right) - 10.log\left(1 + (1{,}5{\times}0{,}13)^2\right) = 4{,}13 \text{ dB} \\ \phi_{BONC}(\omega_c) &= -180^\circ - \arctan\left(\frac{0{,}13}{0{,}87}\right) - \arctan\left(1{,}5{\times}0{,}13\right) + 0{,}8{\times}0{,}13.\frac{180}{\pi} = -205{,}5^\circ \end{split}$$

Or pour avoir une marge de phase de  $M_{\phi}$  = 30° à la pulsation  $\omega_c$  on doit avoir :

$$30^{\circ} = 180^{\circ} - 205,5 - \arg(R(j.\omega_c)) \qquad \Leftrightarrow \qquad \arg(R(j.\omega_c)) = 55,5^{\circ}$$
Et: 
$$0 \text{ dB} = 4,13 + 20.\log ||R(j.\omega_c)|| \qquad \Leftrightarrow \qquad 20.\log ||R(j.\omega_c)|| = -4,13 \text{ dB}$$

$$\Leftrightarrow \qquad ||R(j.\omega_c)|| = 10^{-4,13/20} = 0,62$$

## III-B – Analyse des contraintes sur la loi de commande

#### **Question 18**

A partir du schéma bloc de la figure 11 on en déduit pour  $\theta_{ref}(p) = 0$ :

$$T(p) = \frac{H(p)}{1 + H(p).B(p).R(p).F(p).A(p)}$$

#### **Question 19**

Pour une pulsation proche de  $\omega_0 = 0{,}001 \text{ rad.s}^{-1}$  ou  $2.\omega_0$  le gain de H(p).F(p).A(p).B(p) est très proche de celui du double intégrateur  $\frac{0{,}028}{p^2}$ . Donc  $\left\|H(j.\omega).B(j.\omega).F(j.\omega).A(j.\omega)\right\| \approx \frac{0{,}028}{0{,}001^2} = 28\,000$ 

D'autre part il faut que le correcteur à  $\omega_c = 0.13 \text{ rad.s}^{-1}$  ait un gain de -4.13 dB :  $\|R(0.13.j)\| = 0.62$  Ce qui signifie que pour  $\omega_0 = 0.001 \text{ rad.s}^{-1}$  ou  $2.\omega_0$  :  $\|H(j.\omega).R(j.\omega).B(j.\omega).F(j.\omega).A(j.\omega)\| > 17\,000$  Donc à  $\omega_0$  ou  $2.\omega_0$  :  $\|1 + H(j.\omega).R(j.\omega).B(j.\omega).F(j.\omega).A(j.\omega)\| \approx \|H(j.\omega).R(j.\omega).B(j.\omega).F(j.\omega).A(j.\omega)\|$ 

Soit: 
$$\|T(j.\omega)\| \approx \frac{\|H(j.\omega)\|}{\|H(j.\omega).R(j.\omega).B(j.\omega).F(j.\omega).A(j.\omega)\|} = \frac{1}{\|R(j.\omega).B(j.\omega).F(j.\omega).A(j.\omega)\|}$$

Enfin pour une pulsation proche de  $\omega_0 = 0.001 \text{ rad.s}^{-1}$  ou  $2.\omega_0$  le gain de  $F(p).A(p).B(p) \approx 1$ 

On en déduit : 
$$\|\mathbf{T}(\mathbf{j}.\boldsymbol{\omega})\| \approx \frac{1}{\|\mathbf{R}(\mathbf{j}.\boldsymbol{\omega})\|}$$

#### **Question 20**

Pour un couple perturbateur d'amplitude  $C_{00}$  et de pulsation  $\omega_0$   $(C_{ext}(t) = C_{00}.\sin(\omega_0.t))$  on a une réponse temporelle sinusoïdale de pulsation  $\omega_0$  (après le régime transitoire) :  $\theta(t) = \Theta_{00}.\sin(\omega_0.t + \phi)$  avec

$$\phi = \arg(T(j.\omega_0)) \text{ et } \frac{\Theta_{00}}{C_{00}} = ||T(j.\omega_0)||. \text{ Avec : } ||T(j.\omega_0)|| \approx \frac{1}{||R(j.\omega_0)||}$$

On a donc l'amplitude de la réponse temporelle : 
$$\Theta_{00} = \frac{C_{00}}{\|\mathbf{R}(\mathbf{j}.\omega_0)\|}$$

Pour respecter le critère d'écart de pointage,il faut :  $\Theta_{00} \le 0.04^{\circ} = 6.98.10^{-4} \text{ rad}$ 

Soit: 
$$||R(j.\omega_0)|| \ge \frac{C_{00}}{6.98 \cdot 10^{-4}} = \frac{30.10^{-6}}{6.98 \cdot 10^{-4}} \qquad ||R(j.\omega_0)|| \ge 0.043$$

## III-C - Synthèse du régulateur

## **Question 21**

On a vu à la question 17 que pour respecter la marge de phase à la pulsation  $\omega_c = 0.13 \text{ rad.s}^{-1}$ , il faut :  $\arg{(R(j.\omega_c))} = 55.5^\circ$ . Or :  $R(p) = \frac{K.(1+\tau.p)^2}{p}$  donc :  $\arg{(R(j.\omega_c))} = -90 - 2.\arctan(\tau.\omega_c)$ 

On doit donc avoir:  $\tau = \frac{\tan\left(\frac{90 + 55,5}{2}\right)}{\omega_c}$  Soit:  $\tau = 24,8 \text{ s}$ 

## **Question 22**

De même, on a vu que pour respecter la marge de, il faut :  $20.\log ||R(j.\omega_c)|| = -4.13 \text{ dB}.$ 

Avec:  $20.\log \|R(j.\omega_c)\| = 20.\log K - 20.\log \omega_c + 20.\log (1 + (\tau.\omega_c)^2)$ 

Soit:  $20.\log K = -4.13 + 20.\log 0.13 - 20.\log (1 + (24.8 \times 0.13)^2) = -43.0 \text{ dB}$ 

Soit encore:  $K = 10^{-43,0/20} = 7,08.10^{-3}$ 

## **Question 23**

On a donc :  $R(p) = \frac{7,08.10^{-3}.(1+24,8.p)^2}{p} \qquad \text{D'où : } ||R(j.\omega)|| = \frac{7,08.10^{-3}}{\omega} \,. \, (1+(24,8.\omega)^2)$ 

Soit pour  $\omega_0 = 0.001 \text{ rad.s}^{-1}$ :  $||R(j.\omega_0)|| = 7.08$  et:  $||R(j.2.\omega_0)|| = 3.55$ 

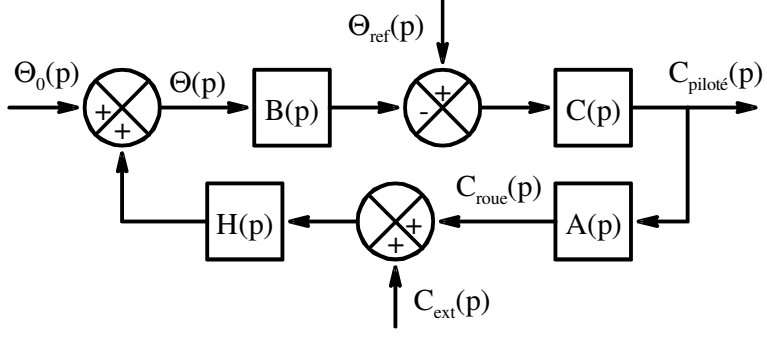
Or pour respecter le critère de pointage on a vu à la question 20 qu'il faut :  $||R(j.\omega)|| \ge 0.043$ 

Donc avec ce régulateur le critère de pointage du cahier des charges est vérifié.

## III-D-1 – Validation de la loi de commande

#### **Question 24**

Le schéma bloc de la figure 12 est équivalent au schéma bloc ci-dessous :



 $Donc \ pour: \quad \theta_{ref}(t) = 0 \quad et: \quad C_{ext}(t) = 0 \quad \text{ on a}: \quad T_d(p) = \frac{C_{pilot\acute{e}}(p)}{\Theta_0(p)} = \frac{B(p).(-C(p))}{1 - B(p).(-C(p)).A(p).H(p)}$ 

On obtient donc :  $T_d(p) = \frac{-B(p).C(p)}{1 + B(p).C(p).A(p).H(p)}$ 

 $C_{pa}(t) = C_{pilot\acute{e}}(t+\tau) \qquad \text{Donc dans le domaine de Laplace}: \quad C_{pa}(p) = C_{pilot\acute{e}}(p).e^{\tau 1.p} \quad \text{avec} \ \tau_1 = 0.7 \ \text{s}$ 

 $Or \ B(p) = e^{-0.7.p} \quad Donc: \quad C_{pa}(p) = C_{pilot\acute{e}}(p).e^{\tau.p} = \frac{C_{pilot\acute{e}}(p)}{B(p)} \qquad D'o\grave{u}: \quad \frac{C_{pa}(p)}{\Theta_0(p)} = \frac{C_{pilot\acute{e}}(p)}{B(p).\Theta_0(p)} = \frac{T_d(p)}{B(p)}$ 

On en déduit donc :  $\frac{C_{pa}(p)}{\Theta_0(p)} = \frac{-C(p)}{1 + B(p) \cdot C(p) \cdot A(p) \cdot H(p)}$ 

 $\label{eq:continuous} De \ l'expression \ précédente \ on \ a: \quad C_{pa}(p) = \Theta_0(p). \\ \frac{-C(p)}{1+B(p).C(p).A(p).H(p)} \qquad avec: \quad \Theta_0(p) = \frac{\Theta_0}{p}$ 

$$Donc: \qquad p.C_{pa}(p) = \frac{-C(p).\Theta_0}{1 + B(p).C(p).A(p).H(p)}$$

D'autre part on a également :  $B(p) = e^{-0.7.p}$  donc :  $\lim_{n \to \infty} B(p) = 0$ 

$$A(p) = \frac{1}{1 + p/0,87} \cdot e^{-0.7 \cdot p} \quad \text{Donc} : \lim_{p \to \infty} A(p) = 0 \qquad H(p) = \frac{0.028}{p^2} \qquad \text{donc} : \lim_{p \to \infty} H(p) = 0$$

Enfin: 
$$C(p) = \frac{K.(1+\tau.p)^2}{p} \cdot \frac{1}{1+1,5.p} = \frac{K.\left(\frac{1}{p}+\tau\right)^2}{\frac{1}{p}+1,5} \qquad \qquad donc: \lim_{p\to\infty} C(p) = \frac{K.\tau^2}{1,5}$$

Donc on a : 
$$\lim_{p\to\infty} p.C_{pa}(p) = \frac{-K.\tau^2.\Theta_0}{1.5}$$

Or d'après le théorème de la valeur initiale :  $\lim_{t\to 0} C_{pa}(t) = \lim_{p\to \infty} p.C_{pa}(p) = \frac{-K.\tau^2.\Theta_0}{1.5}$ 

Donc: 
$$C_{\text{pilot\'e}}(\tau_1) = C_{\text{pa}}(0) = \frac{-K.\tau^2.\Theta_0}{1.5} = \frac{-7.08.10^{-3} \times 24.8^2 \times 20.\frac{\pi}{180}}{1.5}$$

Soit : 
$$C_{pilot\acute{e}}(\tau_1) = -1,013 \text{ N.m}$$

## **Question 26**

De la relation obtenue à la question 13 on obtient :  $\omega_{r \text{Max}}(t) = -\frac{I_y}{I_{rv}} \cdot \dot{\theta}_{\text{Max}}$ 

Or de la figure 13 on en déduit :  $\dot{\theta}_{\text{Max}} = -3.1 \text{ deg.s}^{-1} = -\frac{3.1^{\circ}/\text{s} \times 60 \text{ s/tr}}{360^{\circ}/\text{tr}} = -0.517 \text{ tr.min}^{-1}$ 

On en déduit la vitesse maximale de rotation de la roue :

$$\omega_{\text{r Max}}(t) = -\frac{35.7}{4.10^{-4}}.0,517$$
 Soit:  $\omega_{\text{r Max}}(t) = 46 \ 100 \ \text{tr.min}^{-1}$ 

#### **Question 27**

Le cahier des charges impose que pour l'actionneur la roue de réaction on ait :

$$\begin{split} |C_{Max}| &\leq 0{,}005 \text{ N.m} & \text{ et : } & |\Omega_{Max}| \leq 2 \text{ 800 tr.min}^{-1} \\ C_{pa}(\tau_1) &= 1{,}016 \text{ N.m} & \text{ et : } & \omega_{r \text{ Max}} = 46 \text{ 100 tr.min}^{-1} \end{split}$$

Or: 
$$C_{\text{pa}}(\tau_1) = 1,016 \text{ N.m}$$
 et:  $\omega_{\text{r Max}} = 46 \ 100 \text{ tr.min}^{-1}$ 

Donc le cahier des charges ne peut pas être vérifié par un dépointage initial de 20°.

# III-D-2 – Amélioration des performances vis-à-vis du dépointage initial

#### **Question 28**

Pour:  $|\Delta\theta| > 0.3^{\circ}$ , on a:  $C_{pilot\acute{e}}(p) = -R_1(p).(b_v.sgn(\Delta\theta) + p.\Theta(p))$  donc on fait un pilotage en multipliant par  $R_1(p)$  par le terme p. $\Theta(p)$  qui est la transformée de Laplace de  $\dot{\theta}(t)$ .

On fait donc une régulation en fonction de  $\dot{\theta}(t)$  qui est la vitesse de rotation du satellite.

Donc on a bien une régulation en vitesse de rotation du satellite de consigne  $\theta_c(t)$ .

Avec le même raisonnement qu'à la question 26 on en déduit qu'il faut une consigne maximale telle

$$que: \quad |\omega_{r \; Max}(t)| = \frac{I_{y}}{I_{ry}}.|\dot{\theta}_{c \; Max}| \qquad Soit: \quad |\dot{\theta}_{c \; Max}| = \frac{I_{ry}}{I_{y}}. \; |\omega_{r \; Max}(t)| = \frac{4.10^{-4}}{35,4}. \; 2 \; 800 \; tr/min \; . \; \frac{360 \; deg/tr}{60 \; s/min}$$

Par conséquent : 
$$|\dot{\theta}_{c \text{ Max}}| = 0,190 \text{ deg.s}^{-1}$$

## **Question 30**

A-Les quatre courbes montrent bien les deux phases de correction :

- Pour t < 1350 s on a bien une régulation en vitesse avec une consigne de  $|\dot{\theta_c}| = 0.015$  °/s qui est la pente de l'attitude  $\theta(t)$
- $\mbox{\ensuremath{\mathscr{P}}}$  Pour  $t \geq 1$  350 s on a une régulation en position avec une consigne constante  $\theta_c = 0$
- **B-** © On voit que la vitesse maximale de la roue de réaction est de 34 rad.s<sup>-1</sup> = 325 tr.min<sup>-1</sup>. Ce qui vérifie le cahier des charges  $|\omega_{r \text{ Max}}| \le 2\,800 \text{ tr.min}^{-1}$ .
  - The order of the

## III-D-3 – Analyse des performances vis-à-vis d'un couple perturbateur constant

## **Question 31**

Le régulateur  $R(p) = \frac{K.(1 + \tau.p)^2}{p}$  introduit un intégrateur dans la FTBO en amont de la perturbation.

Donc l'écart en régime permanent en réponse à un couple perturbateur constant est nul.

## **Question 32**

En régime permanent, H(p) étant un double intégrateur, on a :  $C_{roue} + C_{ext} = 0$ . Donc  $C_{roue} = -C_{ext}$ . Si on applique le TMD à la roue en projection sur son axe de rotation on obtient :

$$C_{roue}(t) = I_{ry}.\dot{\omega_r}(t) = C_0$$

Donc pour C<sub>0</sub> constant la vitesse de la roue va augmenter de manière constante. On aura donc :

$$\omega_{\rm r}(t) = \frac{C_0}{I_{\rm ry}} \,. t$$

La valeur absolue de  $\omega_r$  étant limitée à 2 800 tr.min<sup>-1</sup>. A une certaine date T on aura une saturation de l'actionneur qui ne pourra plus exercer de couple sur le satellite.

Cette durée T sera de : 
$$T = \frac{I_{ry}}{C_0}$$
.  $|\omega_{r \, Max}|$   $T = \frac{4.10^{-4}}{10^{-6}}$ .  $\frac{2\,800 \times 2.\pi}{60} = 1,17.10^5 \, s = 32,6 \, h$ 

#### **Question 33**

Les magnéto-coupleurs permettent d'exercer un couple qui viendra s'opposer au couple de perturbation et permettra ainsi de ne pas arriver à une saturation des actionneurs.

L'action des magnéto-coupleurs est cependant périodique de période  $\frac{\pi}{\omega_0}$  correspondant à la pulsation de variation du champ magnétique terrestre dont l'orientation varie en fonction de la position du satellite par rapport aux pôles de la terre.